

УДК 539.3

Е.Ю. МИХАЙЛОВА, Г.В. ФЕДОТЕНКОВ

**НЕСТАЦИОНАРНАЯ ОСЕСИММЕТРИЧНАЯ ЗАДАЧА ОБ УДАРЕ
СФЕРИЧЕСКОЙ ОБОЛОЧКИ ПО УПРУГОМУ ПОЛУПРОСТРАН-
СТВУ (НАЧАЛЬНЫЙ ЭТАП ВЗАИМОДЕЙСТВИЯ)**

Исследуется сверхзвуковой этап (скорость расширения области контакта не меньше скорости волн расширения-сжатия в полупространстве) взаимодействия сферической оболочки типа Тимошенко (ударник) и упругого полупространства (основание). С помощью разложения искомым функций в ряды по полиномам Лежандра и их производным построена система разрешающих уравнений. Разработан и реализован численно-аналитический алгоритм ее решения. Подобная задача рассматривалась в работе [1], где исходная задача заменялась задачей с периодической системой ударников.

Ключевые слова: нестационарная контактная задача, функция влияния, сферическая оболочка типа Тимошенко, упругое полупространство.

1. Постановка задачи. В начальный момент времени тонкая линейно упругая сферическая оболочка типа Тимошенко (ударник), двигаясь с начальной скоростью V_0 , под действием направленной по оси симметрии ударника внешней результирующей силы R_e входит в контакт с однородным изотропным линейно упругим полупространством. Векторы началь-

ной скорости и внешней силы направлены нормально к невозмущенной поверхности полупространства. Первоначально оболочка и полупространство находятся в недеформированном состоянии.

Движение ударника рассматривается в сферической системе координат $r_0, \theta, \tilde{\vartheta}$, причем начало радиус-вектора r_0 совпадает с центром масс оболочки O_0 . Для описания движения полупространства используется цилиндрическая система координат $z, r_1, \tilde{\vartheta}$ с началом в точке O_1 , принадлежащей его границе, и осью z , проходящей через точку O_0 и направленной вглубь полупространства (Фиг. 1).

Все переменные и параметры приводятся к безразмерному виду (штрих соответствует безразмерным величинам; величины с индексом $k=1$ относятся к полупространству, а с $k=0$ - к оболочке):

$$\varphi' = \frac{\Phi}{R^2}, \quad \psi' = \frac{\Psi}{R^2}, \quad \eta_i = \frac{c_{11}}{c_{i1}} \quad (i=1,2), \quad z' = \frac{z}{R}, \quad \tau' = \frac{c_{11}\tau}{R}, \quad u'_k = \frac{u_k}{R}$$

$$w'_k = \frac{w_k}{R}, \quad \sigma'_{\alpha\beta} = \frac{\sigma_{\alpha\beta}}{\lambda_k + 2\mu_k} \quad (\alpha, \beta = r_1, \vartheta, z), \quad \alpha_k = \frac{\lambda_k}{\lambda_k + 2\mu_k}$$

$$\beta_k = \frac{\mu_k}{\lambda_k + 2\mu_k}, \quad r' = \frac{r}{R}, \quad u'_c = \frac{u_c}{R}, \quad h' = \frac{h}{R}, \quad V'_0 = \frac{V_0}{C_{11}}, \quad b' = \frac{b}{R}$$

$$p' = \frac{p}{\lambda_0 + 2\mu_0}, \quad \gamma^2 = \frac{c_{11}^2}{c_{10}^2}, \quad c_{1k}^2 = \frac{\lambda_k + 2\mu_k}{\rho_k}, \quad c_{2k}^2 = \frac{\mu_k}{\rho_k}, \quad a' = \frac{h^2}{12R^2}$$

$$m'_0 = \frac{m_0}{\rho_1 R^3}, \quad R'_e = \frac{R_e}{\rho_1 c_{11}^2 R^2}, \quad R'_a = \frac{R_a}{\rho_1 c_{11}^2 R^2}, \quad \tilde{\gamma} = \frac{\lambda_0 + 2\mu_0}{\lambda_1 + 2\mu_1}$$

$$M'_{\alpha\alpha} = \frac{M_{\alpha\alpha}}{Rh(\lambda_0 + 2\mu_0)}, \quad \tilde{T}'_{\alpha\alpha} = \frac{\tilde{T}_{\alpha\alpha}}{h(\lambda_0 + 2\mu_0)} \quad (\alpha = \theta, \vartheta)$$

$$T'_{\alpha\alpha} = \frac{T_{\alpha\alpha}}{h(\lambda_0 + 2\mu_0)}, \quad Q' = \frac{Q}{h(\lambda_0 + 2\mu_0)}, \quad \kappa'_{\alpha\alpha} = \kappa_{\alpha\alpha} R$$

Здесь R - радиус оболочки; c_{1k} и c_{2k} - скорости распространения волн растяжения-сжатия и сдвига; φ, ψ - скалярный и векторный потенциалы упругих смещений полупространства; $\sigma_{\alpha\beta}$ - компоненты тензора напряжений полупространства; ρ_k - плотность; $b(\tau)$ - радиус области контакта; t - время; h - толщина оболочки; λ_k, μ_k - упругие постоянные Ляме; w_k, u_k - нормальные и тангенциальные перемещения; p - нормальное контактное напряжение; m_0 - масса оболочки; R_a - результирующая и контактная сила; $T_{\alpha\alpha}, \tilde{T}_{\alpha\alpha}, M_{\alpha\alpha}, \kappa_{\alpha\alpha}$ - ненулевые компоненты тензоров тангенциальных усилий, их составляющих, изгибающих моментов, изменения кривизны; Q - перерезывающая сила. Далее везде штрихи опущены.

Осесимметричное движение полупространства описывается известными соотношениями теории упругости (точками здесь и далее обозначены производные по безразмерному времени τ), в которые входят уравнения движения

$$\frac{\partial^2 \varphi}{\partial r^2} + \frac{\partial^2 \varphi}{\partial z^2} + \frac{1}{r} \frac{\partial \varphi}{\partial r} = \ddot{\varphi}, \quad \frac{\partial^2 \psi}{\partial z^2} + \frac{\partial^2 \psi}{\partial r^2} + \frac{1}{r} \frac{\partial \psi}{\partial r} - \frac{\psi}{r^2} = \eta_2^2 \ddot{\psi} \quad (1.1)$$

связь перемещений и потенциалов

$$u_1 = \frac{\partial \varphi}{\partial r} - \frac{\partial \psi}{\partial z}, w_1 = \frac{\partial \varphi}{\partial z} + \frac{1}{r} \left(\psi + r \frac{\partial \psi}{\partial r} \right) \quad (1.2)$$

связь компонентов тензора напряжений и перемещений

$$\begin{aligned} \sigma_{rz} &= \beta_1 \left(\frac{\partial w_1}{\partial r} + \frac{\partial u_1}{\partial z} \right), \sigma_{rr} = \frac{\partial u_1}{\partial r} + \alpha_1 \left(\frac{\partial w_1}{\partial z} + \frac{u_1}{r} \right) \\ \sigma_{zz} &= \frac{\partial w_1}{\partial z} + \alpha_1 \left(\frac{\partial u_1}{\partial r} + \frac{u_1}{r} \right), \sigma_{\theta\theta} = \frac{u_1}{r} + \alpha_1 \left(\frac{\partial w_1}{\partial z} + \frac{\partial u_1}{\partial r} \right) \end{aligned} \quad (1.3)$$

Соответствующие соотношения для оболочки включают в себя [2]

уравнения движения

$$\begin{aligned} \gamma^2 \ddot{u}_0 &= \frac{\partial T_{\theta\theta}}{\partial \theta} + (T_{\theta\theta} - T_{\theta\theta}) \operatorname{ctg} \theta + Q \\ \gamma^2 \ddot{w}_0 &= -T_{\theta\theta} - T_{\theta\theta} + \frac{\partial Q}{\partial \theta} + Q \operatorname{ctg} \theta + \frac{p}{h} \\ \gamma^2 a \ddot{\chi} &= \frac{\partial M_{\theta\theta}}{\partial \theta} - (M_{\theta\theta} - M_{\theta\theta}) \operatorname{ctg} \theta - Q \end{aligned} \quad (1.4)$$

геометрические соотношения

$$\begin{aligned} \varepsilon_{\theta\theta} &= \frac{\partial u_0}{\partial \theta} + w_0, \varepsilon_{\theta\theta} = u_0 \operatorname{ctg} \theta + w_0, \beta = \chi - \xi, -\xi = \frac{\partial w_0}{\partial \theta} - u_0 \\ \kappa_{\theta\theta} &= \frac{\partial \chi}{\partial \theta} - \frac{\partial u_0}{\partial \theta} - w_0, \kappa_{\theta\theta} = \operatorname{ctg} \theta (\chi - u_0) - w_0 \end{aligned} \quad (1.5)$$

физические соотношения

$$\begin{aligned} \tilde{T}_{\theta\theta} &= \varepsilon_{\theta\theta} + \alpha_0 \varepsilon_{\theta\theta}, \tilde{T}_{\theta\theta} = \varepsilon_{\theta\theta} + \alpha_0 \varepsilon_{\theta\theta} \\ M_{\theta\theta} &= a(\kappa_{\theta\theta} + \alpha_0 \kappa_{\theta\theta}), M_{\theta\theta} = a(\kappa_{\theta\theta} + \alpha_0 \kappa_{\theta\theta}) \\ T_{\theta\theta} &= \tilde{T}_{\theta\theta} - M_{\theta\theta}, T_{\theta\theta} = \tilde{T}_{\theta\theta} - M_{\theta\theta}, Q = \beta_0 k^2 \beta, k^2 = 5/6 \end{aligned} \quad (1.6)$$

Здесь $\varepsilon_{\theta\theta}$ и $\varepsilon_{\varphi\varphi}$ - ненулевые компоненты тензоров деформаций; χ - угол поворота нормального к срединной поверхности оболочки волокна.

К этим соотношения добавляется уравнение движения оболочки как абсолютно твердого тела

$$m_0 \ddot{u}_c = R_e + R_a, R_a(\tau) = 2\pi\tilde{\gamma} \int_0^{b(\tau)} p(r, \tau) r dr \quad (1.7)$$

где u_c - глубина проникания оболочки как абсолютно твердого тела.

Начальные условия в рассматриваемой задаче имеют следующий вид:

$$u_c|_{\tau=0} = 0, \dot{u}_c|_{\tau=0} = V_0, u_0|_{\tau=0} = 0, w_0|_{\tau=0} = 0, \dot{u}_0|_{\tau=0} = -V_0 \sin \theta \quad (1.8)$$

$$\dot{w}_0|_{\tau=0} = V_0 \cos \theta, \phi|_{\tau=0} = 0, \dot{\phi}|_{\tau=0} = 0, \psi|_{\tau=0} = 0, \dot{\psi}|_{\tau=0} = 0$$

В бесконечно удаленной точке полупространства возмущения отсутствуют.

Линеаризация граничных условий заключается в снесении их на недеформированные граничные поверхности и учете малости области контакта. Полагая, что контакт происходит в условиях свободного проскальзывания (отсутствует трение между взаимодействующими поверхностями) и вне зоны взаимодействия поверхности полупространства и оболочки свободны от напряжений, приходим к следующим условиям:

$$\sigma_{zz}|_{z=0} = \tilde{\gamma} p \quad (|r| \leq b(\tau)), \quad \sigma_{zz}|_{z=0} = 0 \quad (|r| > b(\tau))$$

$$\sigma_{z\varphi}|_{z=0} = 0 \quad (r \in (-\infty, \infty)), \quad w_1 = (w_0 + 1) \cos \theta - 1 \approx w_0 \quad (|r| \leq b(\tau)) \quad (1.9)$$

Пренебрегая деформацией свободных поверхностей ударника и полупространства, получаем, что область контакта является кругом с радиусом

$$b(\tau) = \sqrt{u_c(2 - u_c)} \quad (1.10)$$

Соотношения (1.1) - (1.10) образуют замкнутую начально-краевую задачу.

2. Система разрешающих уравнений. Ограничимся начальным (сверхзвуковым) этапом взаимодействия, на котором в силу выпуклости ударника скорость расширения области контакта не меньше скорости волн расширения-сжатия в упругой среде [3]. Поэтому перемещения граничных поверхностей ударника и полупространства не выходят за границу области контакта. При этом справедливо интегральное представление контактного напряжения в виде двумерной свертки по времени и радиусу производной функции влияния Γ для полупространства со скоростью нормальных перемещений оболочки [3]:

$$p = \tilde{\gamma}^{-1} \dot{w}_0 ** \dot{\Gamma} \quad (2.1)$$

Учитывая осевую симметрию задачи, равенство (2.1) запишем следующим образом:

$$p(r, \tau) = \frac{1}{\tilde{\gamma}} [p_1(r, \tau) + p_2(r, \tau) + p_3(r, \tau)], \quad p_1(r, \tau) = -\dot{w}_0 H(\tau) H[b(\tau) - r]$$

$$p_2(r, \tau) = \int_0^\tau \dot{w}_0 [b(\tau), t] \mathfrak{G}[r, b(\tau), \tau - t] dt \quad (2.2)$$

$$p_3(r, \tau) = -\int_0^\tau dt \int_0^{b(\tau)} \frac{\partial \dot{w}_0}{\partial \rho} \mathfrak{G}(r, \rho, \tau - t) d\rho$$

$$\mathfrak{G}(r, \rho, \tau) = \sum_{q=1}^2 \mathfrak{G}_{rq}(r, \rho, \tau) + \frac{1}{\tau} \mathfrak{G}_s(r, \rho, \tau) \quad (2.3)$$

где слагаемые в (2.3) имеют вид при $r > 0$

$$\mathfrak{G}_{rq}(r, \rho, \tau) = \frac{1}{r - \rho} \mathfrak{G}_{rq1}(r, \rho, \tau) + \frac{1}{(r - \rho)^3} \mathfrak{G}_{rq2}(r, \rho, \tau) + \frac{1}{\tau} \frac{1}{r - \rho} \mathfrak{G}_{rq3}(r, \rho, \tau) \quad (2.4)$$

$$\mathfrak{G}_{rq1}(r, \rho, \tau) = \frac{d_q}{\pi \eta^4} \left[F(\delta_q, m) H(\varphi_{1q}(r, \rho, \tau)) + K(m) H(\varphi_{2q}(r, \rho, \tau)) \right] H(\varphi_q(r, \rho, \tau))$$

$$\mathfrak{G}_{rq2}(r, \rho, \tau) = \frac{b_q}{\pi \eta^4} \left[E(\delta_q, m) H(\varphi_{1q}(r, \rho, \tau)) + E(m) H(\varphi_{2q}(r, \rho, \tau)) \right] H(\varphi_q(r, \rho, \tau))$$

$$\mathfrak{G}_{rq3}(r, \rho, \tau) = \frac{1}{\pi \eta^4} c_q H(\varphi_{1q}(r, \rho, \tau)) H(\varphi_q(r, \rho, \tau))$$

$$\mathfrak{G}_s(r, \rho, \tau) = \mathfrak{G}_{s0}(r, \rho, \tau) H(\varphi_{s1}(r, \rho, \tau)) H(\varphi_{s2}(r, \rho, \tau))$$

$$\mathfrak{G}_{s0}(r, \rho, \tau) = -\frac{(\eta^2 - 2)^2}{\pi \eta^4} \frac{c_0}{\sqrt{r + \rho - \tau} \sqrt{\tau^2 - (r - \rho)^2}}$$

$$c_0 = \frac{r^2 - \rho^2 - \tau^2}{\sqrt{r + \rho + \tau}}, m = \frac{4r\rho}{(r + \rho)^2}, \sin^2 \delta_q = \frac{(r + \rho)^2 \left[\left(\frac{\tau}{\eta_q} \right)^2 - (r - \rho)^2 \right]}{4r\rho \left(\frac{\tau}{\eta_q} \right)^2}$$

$$\varphi_q(r, \rho, \tau) = \tau - \eta_q |r - \rho|, \varphi_{1q}(r, \rho, \tau) = \eta_q (r + \rho) - \tau, \varphi_{2q}(r, \rho, \tau) = \tau - \eta_q (r + \rho)$$

$$\varphi_{s1}(r, \rho, \tau) = r + \rho - \tau, \varphi_{s2}(r, \rho, \tau) = \tau - |r - \rho|$$

$$d_1 = \frac{2}{r + \rho} \left[\frac{\tau^2}{r + \rho} - (r - \rho)(2\eta^2 - 1) \right], d_2 = \frac{2}{r + \rho} \left[(r - \rho)\eta^2 - \frac{\tau^2}{r + \rho} \right]$$

$$c_1 = -2 \frac{\sqrt{(r + \rho)^2 - \tau^2} \sqrt{\tau^2 - (r - \rho)^2}}{r + \rho}$$

$$c_2 = -2\eta \frac{\sqrt{\eta^2(r+\rho)^2 - \tau^2} \sqrt{\tau^2 - \eta^2(r-\rho)^2}}{r+\rho}$$

$$b_1 = 2 \left\{ \tau^2 \left[\frac{3(r-\rho)}{r+\rho} - \frac{2(r-\rho)^2}{(r+\rho)^2} - 2 \right] + (2\eta^2 - 1)(r-\rho)^2 \right\}$$

$$b_2 = 2 \left\{ \tau^2 \left[-\frac{3(r-\rho)}{r+\rho} + \frac{2(r-\rho)^2}{(r+\rho)^2} + 2 \right] - \eta^2(r-\rho)^2 \right\}$$

и при $r=0$

$$\mathfrak{G}_{r_1}(0, \rho, \tau) = \frac{2}{\eta^4 \rho^3} [3\tau^2 - (2\eta^2 - 1)\rho^2], \quad \mathfrak{G}_{r_2}(0, \rho, \tau) = -\frac{2}{\eta^4 \rho^3} [3\tau^2 - \eta^2 \rho^2]$$

$$\mathfrak{G}_s(0, \rho, \tau) = \frac{(\eta^2 - 2)^2}{\eta^4} \delta(\tau - \rho) \quad (2.5)$$

В последних равенствах $H(x)$ - функция Хевисайда, $F(\delta, m), E(\delta, m), K(m), E(m)$ - неполные и полные эллиптические интегралы первого и второго рода [4].

При таком подходе система разрешающих уравнений включает в себя соотношения (2.1) и (1.4)-(1.10). Для ее решения искомые функции раскладываем по полиномам Лежандра $P_n(\cos \theta)$ и их производным:

$$\left\| \begin{array}{l} w_0(\theta, \tau) \\ p(\theta, \tau) \\ \mathfrak{G}(\theta, \theta_*, \tau - t) \end{array} \right\| = \sum_{n=0}^{\infty} \left\| \begin{array}{l} w_{0n}(\tau) \\ p_n(\tau) \\ \mathfrak{G}_n(\theta_*, \tau - t) \end{array} \right\| P_n(\cos \theta) \quad (2.6)$$

$$\left\| \begin{array}{l} u_0(\theta, \tau) \\ \chi(\theta, \tau) \end{array} \right\| = \sum_{n=0}^{\infty} \left\| \begin{array}{l} u_{0n}(\tau) \\ \chi_n(\tau) \end{array} \right\| \frac{dP_n(\cos \theta)}{d\theta}$$

Здесь и далее учитывается малость угла θ и используются приближенные равенства $r \approx \sin \theta$, $\rho \approx \sin \theta_*$.

Подстановка рядов (2.6) в (1.5), (1.6), а затем в (1.4) приводит к бесконечной системе интегро-дифференциальных уравнений относительно коэффициентов этих рядов:

$$\gamma^2 \ddot{\mathbf{U}}_n = \mathbf{L}_n \mathbf{U}_n + \mathbf{P}_n \quad (n = 0, 1, 2, \dots)$$

$$\mathbf{L}_n = \left\| L_{ijn} \right\|_{3 \times 3}, \mathbf{U}_n = \|u_{0n}, w_{0n}, \chi_n\|^T, h\tilde{\gamma}\mathbf{P}_n = \left\| 0, \sum_{i=1}^3 p_{in}, 0 \right\|^T \quad (2.7)$$

$$L_{11n} = (1+a)[(1-\alpha_0) - n(n+1)] - \beta_0 k^2, \quad L_{12} = (1+\alpha_0)(1+a) + \beta_0 k^2$$

$$L_{13n} = a[\alpha_0 - 1 + n(n+1)] + \beta_0 k^2, \quad L_{21n} = n(n+1)[(1+a)(1+\alpha_0) + \beta_0 k^2]$$

$$L_{22n} = -[2(1+\alpha_0)(1+a) + \beta_0 k^2 n(n+1)] \quad (2.8)$$

$$L_{23n} = -n(n+1)[(\alpha_0 + 1)a + \beta_0 k^2], \quad L_{32n} = -2 - a^{-1}\beta_0 k^2$$

$$L_{31n} = -L_{33n} = n(n+1) - 1 + \alpha_0 + a^{-1}\beta_0 k^2$$

При этом коэффициенты разложения в ряд составляющих контактного напряжения принимают следующий вид:

$$p_{1n}(\tau) = -\frac{2n+1}{2} H(\tau) \sum_{k=0}^{\infty} \dot{w}_{ok}(\tau) \int_0^{b(\tau)} P_k(\cos \theta) P_n(\cos \theta) \sin \theta d\theta$$

$$p_{2n}(\tau) = \frac{2n+1}{2} \sum_{k=0}^{\infty} \int_0^{\tau} \dot{w}_{ok}(t) P_k(\cos b(t)) dt \int_0^{\pi} \mathfrak{G}(\theta, b(t), \tau - t) P_n(\cos \theta) \sin \theta d\theta \quad (2.9)$$

$$p_{3n}(\tau) = -\frac{2n+1}{2} \sum_{k=0}^{\infty} \int_0^{\tau} \dot{w}_{ok}(t) dt \int_0^{b(t)} \frac{dP_k(\cos \theta_*)}{d\theta_*} d\theta_* \int_0^{\pi} \mathfrak{G}(\theta, \theta_*, \tau - t) P_n(\cos \theta) \sin \theta d\theta$$

Из формул (2.3) и (2.4) следует, что $p_{2n}(\tau)$ и $p_{3n}(\tau)$ содержат интегралы с сингулярными особенностями порядка -1 и -3 , а также с интегрируемыми особенностями порядка $-1/2$.

С учетом (2.6) уравнение движения оболочки как абсолютно твердого тела запишется так:

$$m_0 \ddot{u}_c = R_e + \pi \sum_{i=1}^3 \sum_{n=0}^{\infty} p_{in}(\tau) \int_0^{b(\tau)} P_n(\cos \theta) \sin(2\theta) d\theta \quad (2.10)$$

3. Метод и алгоритм решения. Для решения системы уравнений (2.7)-(2.10) используем модифицированный метод Рунге-Кутты четвертого порядка и принцип усечения бесконечной системы уравнений [5].

Ряды (2.6) заменяем конечными суммами с верхним пределом суммирования, равным N . Сводя систему уравнений (2.7)-(2.10) к системе первого порядка, получаем систему, содержащую $6N + 1 + 2$ обыкновенных дифференциальных уравнений, которая дополняется алгебраическим уравнением (1.10). Первые $6N + 1$ уравнений можно представить в матричной форме, имеющей блочную структуру:

$$\gamma^2 \dot{\mathbf{W}} = \mathbf{M}\mathbf{W} + \mathbf{Q} \quad (3.1)$$

$$\mathbf{W} = \|\mathbf{W}_0, \mathbf{W}_1, \dots, \mathbf{W}_N\|^T, \quad \mathbf{W}_n = \|u_{0n}, w_{0n}, \chi_n, \tilde{u}_{0n}, \tilde{w}_{0n}, \tilde{\chi}_n\|^T$$

$$\tilde{u}_{0n} = \dot{u}_{0n}, \quad \tilde{w}_{0n} = \dot{w}_{0n}, \quad \tilde{\chi}_{0n} = \dot{\chi}_{0n}$$

$$\mathbf{Q} = \|\mathbf{Q}_0, \mathbf{Q}_1, \dots, \mathbf{Q}_N\|^T, \quad \mathbf{Q}_n = \frac{1}{h\tilde{\gamma}} \left\| 0, 0, 0, 0, \sum_{i=1}^3 p_{in}, 0 \right\|^T$$

$$\mathbf{M} = \left\| \begin{array}{ccc|c} \mathbf{M}_0 & & & \\ & \mathbf{M}_1 & \mathbf{0} & \\ & & \cdot & \\ & & & \cdot \\ & \mathbf{0} & & \cdot \\ & & & \\ & & & \mathbf{M}_N \end{array} \right\|, \quad \mathbf{M}_n = \left\| M_{ijn} \right\|_{6 \times 6} = \left\| \begin{array}{ccc|c} & & & 1 \ 0 \ 0 \\ & \mathbf{0} & & 0 \ 1 \ 0 \\ & & & 0 \ 0 \ 1 \\ - & - & - & - \ - \ - \\ L_{11n} & L_{12n} & L_{13n} & \\ L_{21n} & L_{22n} & L_{23n} & \mathbf{0} \\ L_{31n} & L_{32n} & L_{33n} & \end{array} \right\|$$

К ним добавляется вытекающая из (2.10) система уравнений движения оболочки как абсолютно твердого тела:

$$\dot{u}_c = \tilde{u}_c, \quad \ddot{u}_c = \frac{1}{m_0} \left(R_e + \pi \sum_{i=1}^3 \sum_{n=0}^N p_{in}(\tau) \int_0^{b(\tau)} P_n(\cos \theta) \sin(2\theta) d\theta \right) \quad (3.2)$$

и уравнение для определения радиуса области контакта (1.10).

Пятое уравнение системы (3.1) в каждом блоке с номером n является интегро-дифференциальным, так как в его правую часть входят неизвестные функции $\tilde{w}_{0n}(\tau) = \dot{w}_{0n}(\tau)$ под знаком интеграла (см. (2.9)). При этом правая часть содержит все $N + 1$ функцию $\tilde{w}_{0n}(\tau)$, $n = \overline{0, N}$, поэтому система решается совместно для всех $6 N + 1 + 3$ уравнений.

Отличие модифицированного метода от классического заключается в том, что наряду с применением классической схемы [5] необходимо построение и использование квадратурных формул для вычисления интегралов в интегро-дифференциальных уравнениях системы (3.1), (3.2). При построении квадратурных формул используется явное представление для полиномов Лежандра [4] :

$$P_n(x) = 2^{-n} \sum_{m=0}^{\lfloor n/2 \rfloor} (-1)^m \frac{(2n-2m)!}{m!(n-m)!(n-2m)!} x^{n-2m}. \quad (3.3)$$

Временной координате τ ставятся в соответствие дискретные моменты времени $\tau_m = \delta_m m$, где δ_m - шаг по времени. Искомые коэффициенты рядов перемещений и их скоростей, радиус границы области контакта, глубина погружения ударника как абсолютно твердого тела и ее скорость заменяются дискретными аналогами – значениями в дискретных моментах времени: $u_{0nm} = u_{0n}(\tau_m)$, $w_{0nm} = w_{0n}(\tau_m)$, $\chi_{nm} = \chi_n(\tau_m)$, $\tilde{u}_{0nm} = \tilde{u}_{0n}(\tau_m)$, $\tilde{w}_{0nm} = \tilde{w}_{0n}(\tau_m)$, $\tilde{\chi}_{nm} = \tilde{\chi}_n(\tau_m)$, $b_m = b(\tau_m)$, $u_{cm} = u_c(\tau_m)$, $\tilde{u}_{cm} = \tilde{u}_c(\tau_m)$.

Квадратурные формулы для интегралов, входящих в правые части уравнений (3.1) и (3.2) строятся с использованием представления (3.3), метода весовых коэффициентов и канонической регуляризации [6] для получения конечных значений сингулярных интегралов (см. (2.3), (2.4)):

$$p_{1nm} = p_{1n}(\tau_m) \approx -\frac{2n+1}{2} \sum_{k=0}^N \dot{w}_{0km} 2^{-n-k} \sum_{m_3=0}^{\lfloor k/2 \rfloor} \sum_{m_2=0}^{\lfloor n/2 \rfloor} (-1)^{m_2+m_3} \frac{(2k-2m_3)!}{m_3!(k-m_3)!(k-2m_3)!} \times$$

$$\times \frac{(2n-2m_2)!}{m_2!(n-m_2)!(n-2m_2)!} \left[\frac{1 - (\cos b_m)^{k+n-2(m_2+m_3)+1}}{k+n-2(m_2+m_3)+1} \right]$$

$$p_{2nm} = p_{2n}(\tau_m) \approx \frac{2n+1}{2} \sum_{k=0}^N \sum_{i=0}^{m-1} \dot{w}_{0ki} P_k(\cos b_i) \sum_{j=1}^l P_n(\cos \theta_j) \sin \theta_j \times$$

$$\times \left[\delta_m \left\{ \omega_{1j}(b_i) f_1(\theta_j, b_i, \tau - t_i) + \omega_{3j}(b_i) f_2(\theta_j, b_i, \tau - t_i) \right\} + \right.$$

$$\left. + \tilde{\omega}_i \left\{ \omega_{1j}(b_i) f_3(\theta_j, b_i, \tau - t_i) + \delta_l f_4(\theta_j, b_i, \tau - t_i) \right\} \right]$$

$$\begin{aligned}
p_{3nm} = p_{3n}(\tau_m) &\approx -\frac{2n+1}{2} \sum_{k=0}^N \sum_{i=0}^{m-1} \dot{w}_{0ki} \sum_{i_1=1}^{m_1} (P_k(\cos \theta_{*i_1}) - P_k(\cos \theta_{*i_1-1})) \sum_{j=1}^l P_n(\cos \theta_j) \sin \theta_j \times \\
&\times \left[\delta_m \left\{ \omega_{1j}(\theta_{*i_1}) f_1(\theta_j, \theta_{*i_1}, \tau - t_i) + \omega_{3j}(\theta_{*i_1}) f_2(\theta_j, \theta_{*i_1}, \tau - t_i) \right\} + \right. \\
&\left. + \tilde{\omega}_i \left\{ \omega_{1j}(\theta_{*i_1}) f_3(\theta_j, \theta_{*i_1}, \tau - t_i) + \delta_l f_4(\theta_j, \theta_{*i_1}, \tau - t_i) \right\} \right] \\
\delta_l = \frac{\pi}{l}, \delta_{m_1} = \frac{b_i}{m_1}, \theta_j = j\delta_l, t_i = i\delta_m, \tau_m = m\delta_m, \theta_{*i_1} = i_1\delta_{m_1}
\end{aligned}$$

$$f_1(\theta_j, x, \tau - t_i) = \sum_{q=1}^2 \mathfrak{G}_{rq1}(\theta_j, x, \tau - t_i)$$

$$f_2(\theta_j, x, \tau - t_i) = \sum_{q=1}^2 \mathfrak{G}_{rq2}(\theta_j, x, \tau - t_i)$$

$$f_3(\theta_j, x, \tau - t_i) = \sum_{q=1}^2 \mathfrak{G}_{rq3}(\theta_j, x, \tau - t_i)$$

$$f_4(\theta_j, x, \tau - t_i) = \mathfrak{G}_s(\theta_j, x, \tau - t_i)$$

Весовые коэффициенты имеют следующий вид:

$$\omega_{n_1j}(x) = \int_{\theta_{j-1}}^{\theta_j} \frac{d\theta}{(\sin \theta - x)^{n_1}}, \quad n_1 = 1, 3; \quad \tilde{\omega}_i = \int_{t_i}^{t_{i+1}} \frac{dt}{\tau_m - t}$$

К системе уравнений (3.1). (3.2), (1.10) добавляются начальные условия:

$$\mathbf{W}_n(0) = \begin{cases} \|0, 0, 0, 0, 0, 0\|^T, & n \neq 1 \\ \|0, 0, 0, V_0, V_0, 0\|^T, & n = 1 \end{cases}, \quad u_c(0) = 0, \quad \tilde{u}_c(0) = V_0, \quad b(0) = 0. \quad (3.4)$$

Предложенный алгоритм расчета реализован в среде Delphi. При этом значения полных эллиптических интегралов вычисляются с помощью аппроксимации их многочленами ($|\varepsilon(m)| \leq 2 \cdot 10^{-8}$, $0 \leq m < 1, m_1 = 1 - m$):

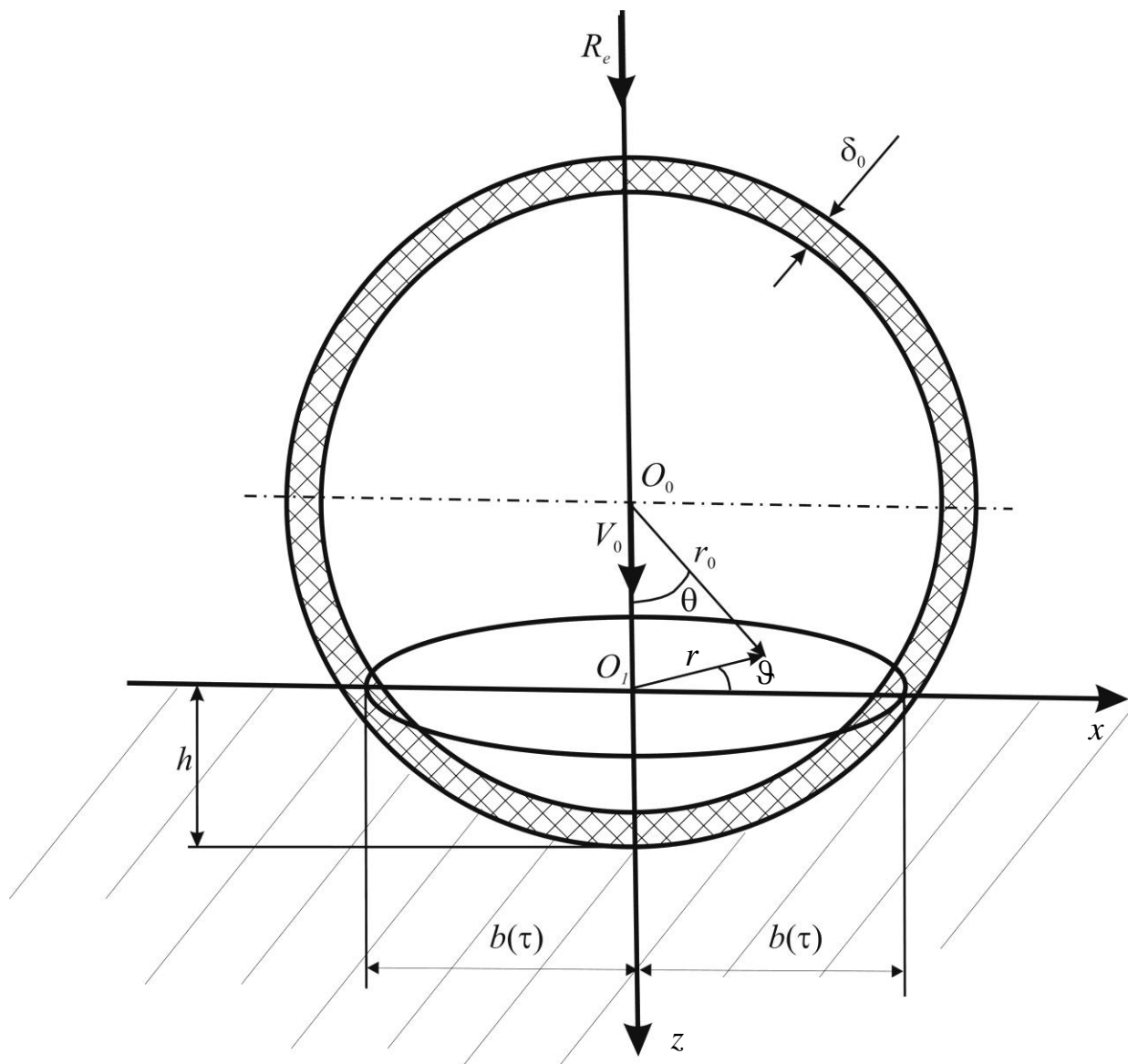
$$K(m) = [a_0 + a_1 m_1 + \dots + a_4 m_1^4] + [b_0 + b_1 m_1 + \dots + b_4 m_1^4] \ln(1/m_1) + \varepsilon(m),$$

$$E(m) = [1 + a_1 m_1 + \dots + a_4 m_1^4] + [b_1 m_1 + \dots + b_4 m_1^4] \ln(1/m_1) + \varepsilon(m)$$

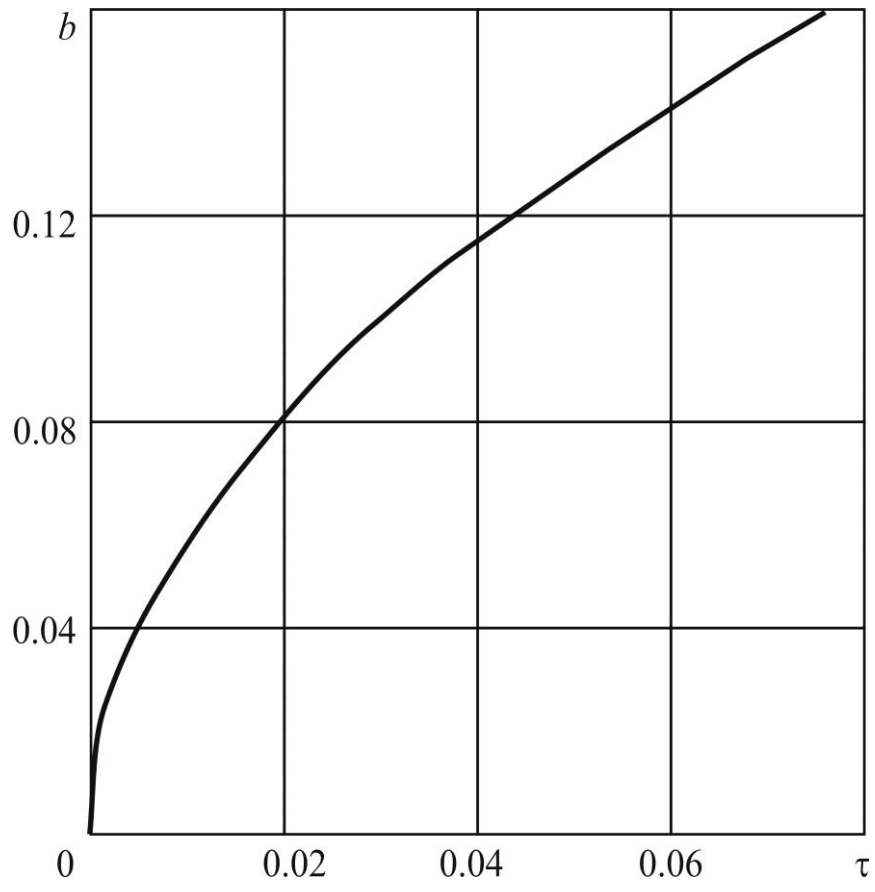
Значения коэффициентов этих аппроксимаций приведены в [4]. Для вычисления неполных эллиптических интегралов используется метод Симпсона [5].

3. Пример. В качестве примера рассмотрена задача со следующими значениями безразмерных параметров (материалы оболочки и полупространства одинаковы): $m_0 = 0.62832$, $h = 0.05$, $V_0 = 0.01$, $R_e = 0.1$, $\gamma^2 = 1$, $\lambda/\mu = 2$, $\tilde{\gamma} = 1$. На Фиг. 2 - 5 представлены графики изменения во времени соответственно радиуса области контакта $b(\tau)$ и его производной $\dot{b}(\tau)$, нормального контактного напряжения $p(\tau)$ в лобовой точке и перемещения ударника как абсолютно твердого тела $u_c(\tau)$; а на Фиг. 6, 7 изображены зависимости от угла θ соответственно нормальных перемещений $w_0(\theta)$ и нормального контактного напряжения $p(\theta)$ в конечный момент времени сверхзвукового этапа взаимодействия $\tau = 0.076$. В расчетах удерживалось четыре члена ряда в разложениях по полиномам Лежандра и их производ-

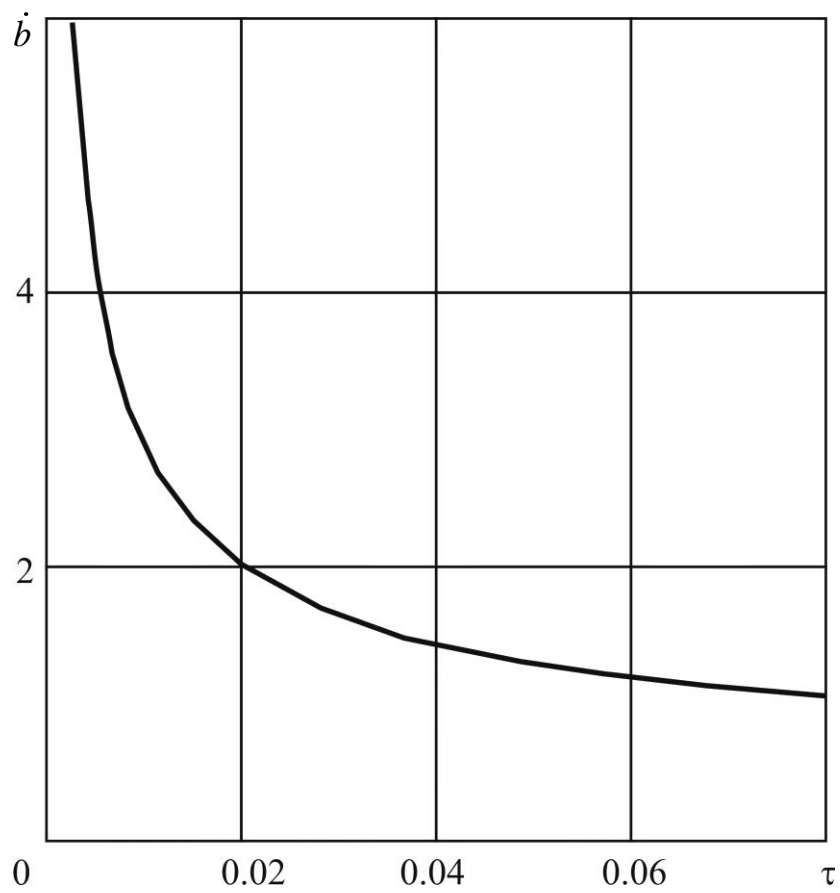
ным, так как учет большего числа членов дает незначительное уточнение результатов.



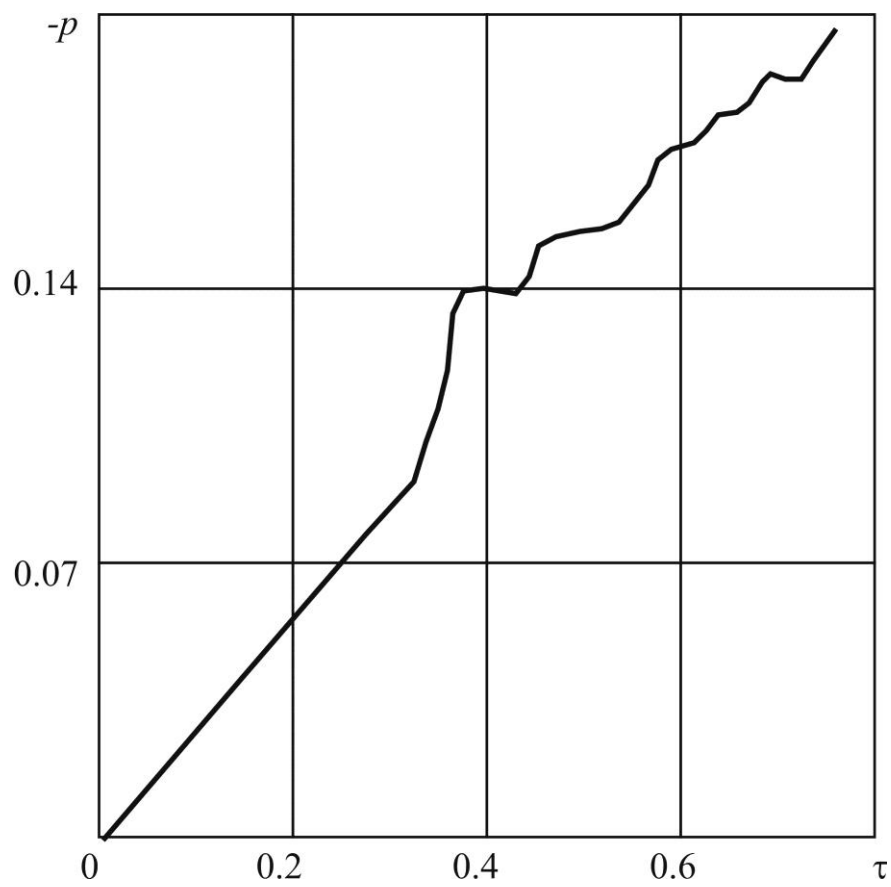
Фиг.1



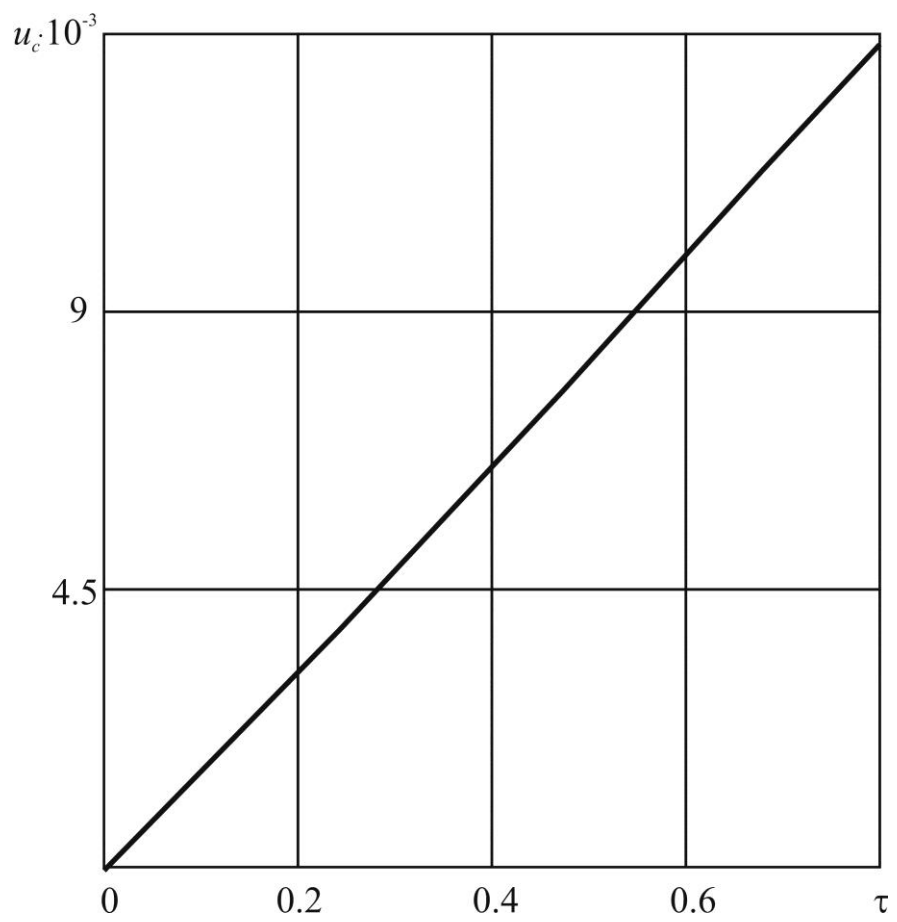
Фиг. 2



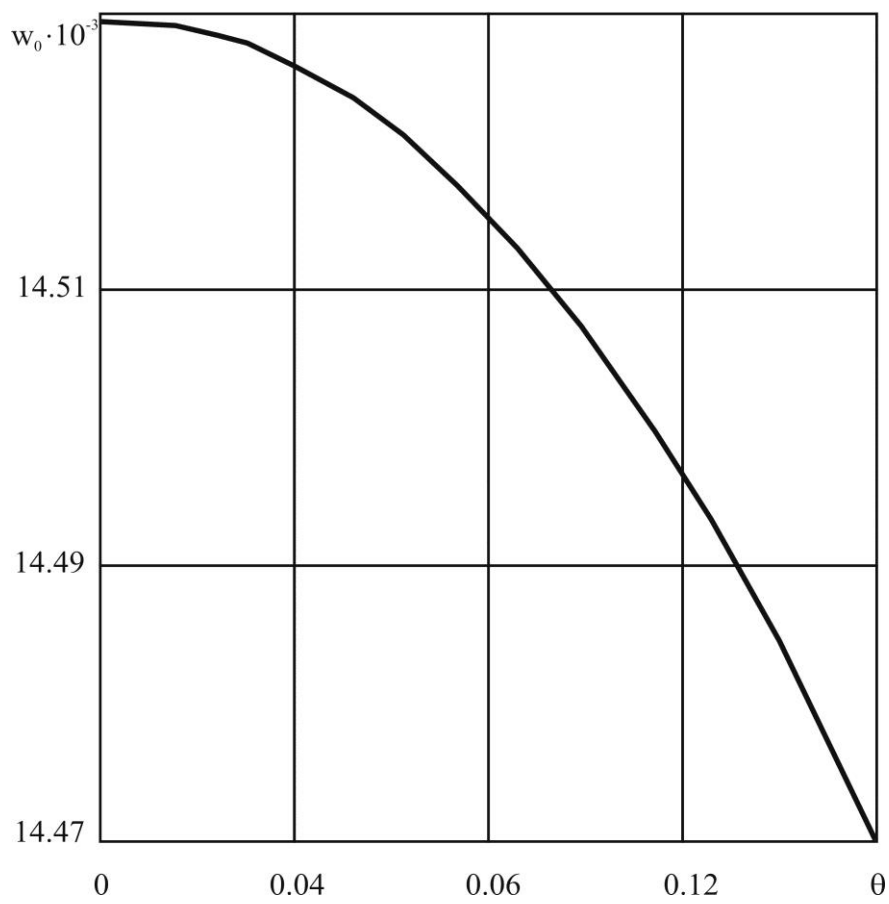
Фиг. 3



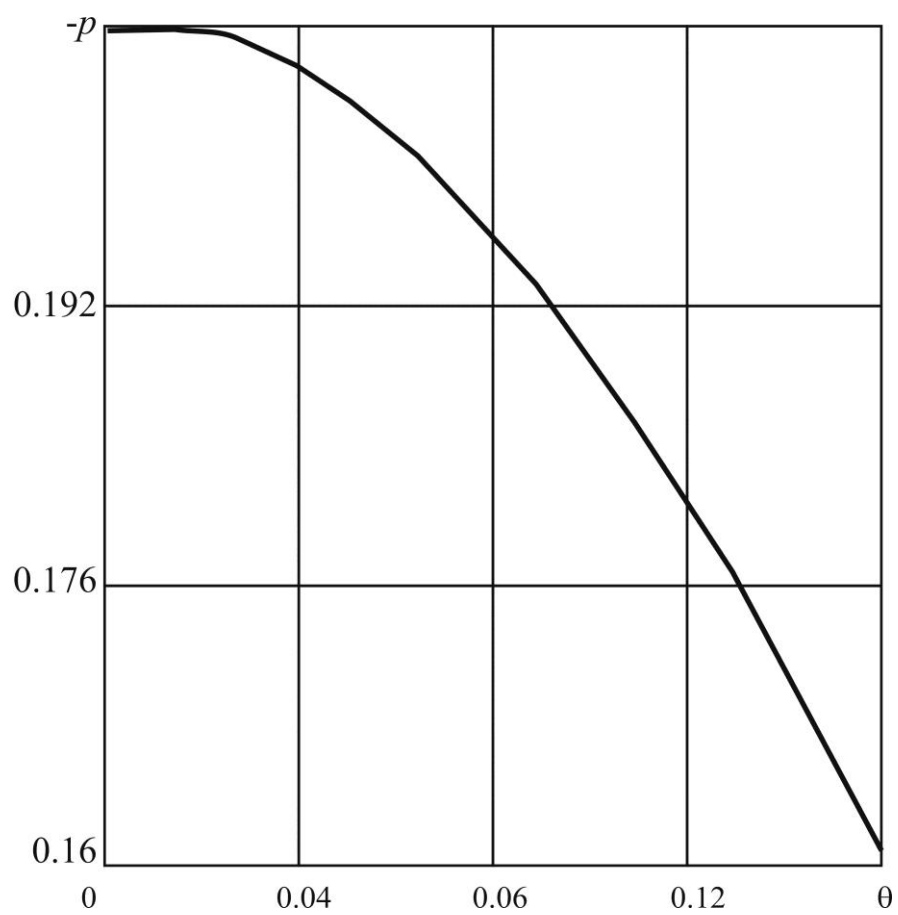
Фиг. 4



Фиг. 5



Фиг. 6



Фиг. 7

Заключение. С использованием принципа суперпозиции получена разрешающая задачу система функциональных уравнений относительно коэффициентов рядов разложений перемещений оболочки, глубины погружения ударника и радиуса границы области контакта. В каждый дискретный момент времени с помощью специально разработанных квадратурных формул, учитывающих сингулярные и интегрируемые особенности ядер интегральных представлений, определено распределение контактного давления по области взаимодействия.

Работа выполнена при финансовой поддержке Российского фонда фундаментальных исследований (проекты 10-08-90031, 10-08-90410).

Список литературы

1. Кубенко В.Д., Богданов В.Р. Осесимметричная задача удара оболочки об упругое полупространство// Прикл. механика. 1995. Т. 31. № 10. С. 56-63.
2. Горшков А.Г., Медведский А.Л., Рабинский Л.Н., Тарлаковский Д.В. Волны в сплошных средах. М.: Физматлит, 2004. 467 с.
3. Горшков А.Г., Тарлаковский Д.В. Динамические контактные задачи с подвижными границами. М.: Наука. Физматлит, 1995. 351 с.
4. Справочник по специальным функциям с формулами, графиками и математическими таблицами/ Под редакцией М. Абрамовица и И. Стиган. М.: Наука, 1979. 830 с.

5. Бахвалов Н.С. Численные методы. Т.1. Анализ, алгебра, обыкновенные дифференциальные уравнения. М.: Наука, 1975. 631 с.
6. Гельфанд И.М., Шилов Г.Е.: Обобщенные функции и действия над ними. М.: Физматгиз, 1959. 470 с.

Поступила в редакцию

6.12.2010

Сведения об авторах

Михайлова Елена Юрьевна

Московский авиационный институт (технический университет)

Старший преподаватель

Сл. адрес: 125993, Москва, А-80, ГСП-3, Волоколамское шоссе, 4

E-mail: aet@mai.ru

тел. 8(499)158-43-06

Федотенков Григорий Валерьевич

Московский авиационный институт (технический университет)

Доцент

Сл. адрес: 125993, Москва, А-80, ГСП-3, Волоколамское шоссе, 4

E-mail: aet@mai.ru

тел. 8(499)158-43-06